



## Simulating the Detection of Tunnels Using the Electrical Resistance Method

S. Khzaei  \*

\* Associate Professor, Imam Hossein University, Tehran, Iran

(Received: 21/07/2023, Revised: 10/10/2023, Accepted: 28/01/2024, Published: 04/05/2024)  
DOI: 10.1001.1.20086849.1403.15.1.4.1

### ABSTRACT

*Today, the use of tunnels is one of the favorite strategies of armies as well as guerilla forces, and in many cases it is considered one of the important factors of victory. Due to the high contrast of the specific electrical resistance of tunnels with the host environment, the specific electrical resistance method can be called as the most powerful near-surface method for detecting such structures. In this study, conventional electrical tomography arrays have been simulated in order to detect tunnels using the forward modeling method. Based on the obtained results, the dipole-dipole, polar-dipole and Wenner-Schlumberger arrays have the best response in their sections to the presence of the tunnel, and the Wenner array has a weaker sensitivity than all of them. Also, in this study, based on the principle of changing the geometrical parameters (depth and size) of the tunnel as well as the conductive overburden, solutions have been proposed to hide the tunnels from the field of view of the arrays.*

**Keywords:** Passive Defense, Tunnel, Simulation, Resistivity

This article is an open-access article distributed under the terms and conditions of the Creative Commons Attribution (CC BY) license.

**Publisher:** Imam Hussein University

 Authors



\* Corresponding Author Email: skhazai@ihu.ac.ir



نشریه علمی پدافند غیرعامل

سال پانزدهم، شماره ۱، بهار ۱۴۰۳، (پیاپی ۵۷)؛ صص ۴۵-۲۷

علمی-پژوهشی

شایعی چاپی: ۲۰۰۸-۶۹۴۹ | شایعی الکترونیکی: ۰۳۰-۸۰۳۰



## شبیه‌سازی آشکارسازی تونل‌ها با روش مقاومت ویژه الکتریکی

\* صفا خزائی

DOI: 20.1001.1.20086849.1403.15.1.4.1

تاریخ پذیرش: ۱۴۰۲/۱۱/۰۸

تاریخ دریافت: ۱۴۰۲/۰۴/۳۰

تاریخ انتشار: ۱۴۰۳/۰۲/۱۵

تاریخ بازنگری: ۱۴۰۲/۰۷/۱۸

### چکیده

امروزه، استفاده از تونل‌ها به عنوان یکی از راهبردهای مورد علاقه ارتش‌ها و همچنین نیروهای چریکی بوده و در بسیاری از موارد یکی از عوامل مهم پیروزی محسوب می‌شود. به علت تباین بالای مقاومت ویژه الکتریکی تونل‌ها با محیط میزان، می‌توان روش مقاومت ویژه الکتریکی را به عنوان قوی‌ترین روش نزدیک سطحی برای شناسایی چنین ساختارهایی نام برد. در مطالعه حاضر با استفاده از روش مدل‌سازی پیشرو، آرایه‌های متدالوی توموگرافی الکتریکی به منظور آشکارسازی تونل‌ها شبیه‌سازی شده است. بر اساس نتایج به دست آمده، آرایه‌های دوقطبی-قطبی و نر-شلومبرژ بهترین پاسخ را در مقاطعه‌شان نسبت به حضور تونل داشته و آرایه نر نسبت به همه، حساسیت ضعیفتری دارد. همچنین در این تحقیق، بر اساس اصل تغییر پارامترهای هندسی (عمق و ابعاد) تونل و همچنین رولایه رسانا، راهکارهایی در جهت پنهان ماندن تونل‌ها در میدان دید آرایه‌های مذکور پیشنهاد گردیده است.

**کلید واژه‌ها:** پدافند غیرعامل، تونل، شبیه‌سازی، مقاومت ویژه الکتریکی

:

\*دانشیار دانشکده پدافند غیرعامل، دانشگاه جامع امام حسین (ع)، تهران، ایران (skhazai @ihu.ac.ir)-نویسنده مسئول

\* این مقاله یک مقاله با دسترسی آزاد است که تحت شرایط و ضوابط مجوز Creative Commons Attribution (CC BY) توزیع شده است.



نویسنده‌گان

ناشر: دانشگاه جامع امام حسین (ع)

محقق پیشتر در زمینه شناسایی حفرات زیرزمینی، بریستو<sup>۱</sup> (۱۹۹۰) بود [۵]. او با استفاده از آرایش قطبی-دوقطبی<sup>۲</sup> (هم به صورت پیش رو<sup>۳</sup> و هم به صورت معکوس<sup>۴</sup>) و داده‌ها را برداشت و با ایجاد کمان‌های متقاطع محل حفرات را تشخیص می‌داد، روش بریستو تا سال‌ها به عنوان یک روش خوب ژئوکتریکی برای شناسایی حفرات استفاده شد، اما با پیشرفت در زمینه مدل‌سازی معکوس و همچنین گرافیکی تر شدن ممقاطع ژئوفیزیکی، اهمیت این روش به تدریج رنگ باخت. مناطق گستره‌ای از شهر روم، به علت ریزش حفرات و معابر زیرزمینی ناگهان نشست می‌کردند، این فرایند آن قدر مخرب بود که در سال ۲۰۱۳ مسئولان شهرداری شهر روم به این فکر افتادند که با استفاده از تلفیق مطالعات توموگرافی دو بعدی الکتریکی و زمین‌شناسی، این معابر را تعیین موقعیت نمایند. این گروه با استفاده از روش مذکور توانستند شبکه تونل‌ها را تعیین محل نموده و شناسایی کنند [۶].

در سال ۲۰۱۴، شاهی فردوس و همکاران به منظور احیای قنات‌ها در منطقه گستنچ واقع در شهرستان فردوس از روش ژئوکتریک استفاده نمودند. آن‌ها ۳۶ سوندazer الکتریکی را در امتداد دو دره در نزدیکی مادر چاهها اجرا نمودند. با توجه به نقشه‌های هم مقاومت ویژه در عمق‌های مختلف و همچنین ممقاطع مقاومت ویژه ظاهری مشخص شد که ادامه پیش کاری برای قنات‌ها مناسب نیست و حفر گالری، مناسب‌ترین گزینه برای بهره‌برداری بیشتر از آن‌هاست [۷]. در سال ۲۰۱۴، اسحاقی و همکاران از دانشگاه شاهروд از روش‌های ژئوکتریکی و رادار‌غنوزی (زمین برای شناسایی اهداف نزدیک سطح استفاده نمودند [۸]. پوتیسکا و همکاران [۲۰۱۲] از روش توموگرافی الکتریکی مقاومت ویژه برای شناسایی حفرات زیرزمینی استفاده نمودند. در این مطالعه آنها در وهله اول با استفاده از مدل‌سازی پیشرو (شبیه سازی عملیات) آرایه‌های مختلف را برای این امر مقایسه نمودند، سپس اثر یک لایه نازک را در نزدیکی حفرات بررسی نمودند. نتایج آن‌ها بدین صورت بود که مناسب‌ترین آرایه‌ها،

دوقطبی-دوقطبی و قطبی-دوقطبی بود، همچنین یک لایه نازک رسانا اثر حفره (حفره مملو از هوا که مقاومت ویژه آن تقریباً بی‌نهایت است) با مقاومت ویژه بالا را معکوس نموده و به صورت یک زون رسانا که هدایت الکتریکی آن بیشتر از محیط در برگیرنده آن است، بر روی ممقاطع نشان داده می‌شود [۹]. لویز و همکاران (۲۰۱۴) در نیجریه روش توموگرافی مقاومت ویژه الکتریکی را برای شناسایی یک مجرای زیرزمینی در محیط‌های گرانیتی، فیلیتی و ماسه‌سنگی، که قبلاً ویژگی‌های این

## ۱- مقدمه

تونل‌ها از ظرفیت بالایی در بخش نظامی برخوردار هستند. قدمت استفاده از آنها در جریان جنگ‌ها، به گذشته‌های دور بر می‌گردد [۱]. از آن زمان تا جنگ‌های امروزی این شیوه به اشکال گوناگون توسط ارتش‌های کشورهای مختلف جهان مورد استفاده قرار گرفته است. حتی امروزه و با وجود تمام پیشرفت‌های به وجود آمده در بخش‌های نظامی، این شیوه همچنان به عنوان یکی از راهبردهای مورد علاقه برخی از ارتش‌ها و همچنین نیروهای چریکی بوده و در بسیاری از موارد به یکی از عوامل مهم پیروزی بدل شده است. این تونل‌ها، بقاء پذیری نیروهای خودی در برابر حملات دشمن را افزایش داده و در عین حال در جریان عملیات آفندی می‌توان از آن به عنوان یک اصل غافلگیرکننده استفاده کرد. در جریان جنگ ۳۳ روزه حزب الله و رژیم صهیونیستی، بحث شبکه تونل‌های به هم پیوسته حزب الله لبنان در جنوب این کشور، یکی از مشکلاتی بود که ارتش اسرائیل را شدیداً درگیر خود کرده بود [۱]. در بسیاری از اوقات سربازان اسرائیلی که به این مناطق نفوذ کرده بودند بدون هیچ گونه علامتی، ناگهان از چندین جهت مورد حمله واقع می‌شدند و تلفات سنگینی به آنها وارد می‌شد [۱]. امروزه ژئوفیزیک به عنوان یک روش غیر مخرب و دقیق برای شناسایی ساختارهای زیرزمینی شناخته می‌شود. از میان روش‌های مختلف ژئوفیزیکی، ژئوکتریک و بالاخص روش مقاومت سنجی ( مقاومت ویژه) برای مطالعات مهندسی به منظور شناسایی اهداف مدفون، محبوبیت خاصی پیدا کرده است [۲]. بنابراین می‌توان روش مقاومت سنجی را به عنوان قوی‌ترین روش نزدیک سطحی برای مطالعه چنین ساختارهایی، نام برد [۳]. از آنجاکه مبنای این روش تزییق جریان مستقیم الکتریکی به زمین و اندازه‌گیری اختلاف پتانسیل آن در عمق‌های مختلف هست، که نهایتاً تحت مراحل پردازشی مختلف یک مدل از توزیع مقاومت ویژه زیرسطحی تا عمق موردمطالعه به دست می‌آید، لذا اهدافی که دارای تباین مقاومت ویژه بالایی می‌باشند، بر روی این ممقاطع به وضوح خود را نشان می‌دهند [۴]. تونل‌ها یا حفریات زیرزمینی در صورتی که مملو از هوا باشند به خوبی بر روی ممقاطع مقاومت ویژه، خود را نشان خواهند داد. این بدین علت است که مقاومت ویژه هوا بی‌نهایت می‌باشد و همین امر موجب می‌شود که تباین خیلی بالایی میان فضای تونل و سنگ‌های اطراف از لحاظ مقاومت ویژه الکتریکی (رسانای الکتریکی) ایجاد گردد، که این دلیل واضح و مبرهن تشخیص تونل‌ها یا حفرات با استفاده از مقاومت ویژه الکتریکی می‌باشد [۴].

<sup>1</sup> Bristow

<sup>2</sup> Pole-dipole

<sup>3</sup> Forward

<sup>4</sup> Inversion

فضاهای خالی بر روی مقاطع الکتریکی مشخص و واضح بودند [۱۷].

پروژه‌های ژئوتکنیکی از دیرباز نیازمند حفاری بوده است. از آنجاکه اجرای حفاری‌های متعدد (گمانه‌های متعدد) از لحاظ زمان و هزینه به صرفه نیست و از طرف دیگر به سازند زمین‌شناسی آسیب می‌زند، لذا برای داشتن اطلاعاتی بیوسته از زیر سطح، از روش‌های ژئوالکتریکی استفاده می‌شود. با داشتن نتایج به عنوان یک لایه اطلاعاتی، می‌توان تحلیل‌های مناسبی را انجام داد. در این راستا بازین و همکاران (۲۰۱۳) در موسسه ژئوتکنیک نروژ، روش توموگرافی الکتریکی را برای مطالعه کلاهک‌های رسی دریابی و اثر آن بر روی مقاطع ژئوالکتریکی استفاده نمودند [۱۸]. این‌همه و همکاران (۲۰۱۳) نیز از روش مقاومت ویژه الکتریکی برای یافتن درز و شکاف‌ها و همچنین حفرات احتمالی در محل پیشنهادی سد واقع در نزدیکی رودخانه اوجی واقع جنوب شرق نیجریه استفاده نمودند [۱۹].

در سطح کشور نیز تحقیقات محدودی در زمینه آشکارسازی تونل و اهداف زیرزمینی با روش مقاومت ویژه الکتریکی ارائه شده است که در ادامه به آنها پرداخته می‌شود. در تحقیق انجام شده توسط موسوی و همکاران (۱۳۹۵)، آشکارسازی تونل‌ها با روش مقاومت ویژه الکتریکی از طریق شبیه‌سازی یک بلوك مستطیلی مورد بررسی قرار گرفته است. نتایج این تحقیق نشان می‌دهد که با کاهش مقاومت ویژه روباره (افزایش رسانندگی روباره) و افزایش ضخامت روباره افزایش، احتمال آشکارسازی تونل کمتر می‌شود. همچنین بر اساس تحقیق انجام شده توسط خاکی نجف‌آبادی و خرائی (۱۳۹۶) نشان داده شده است که به عنوان یک راهکار پدافند غیرعامل، وجود نواحی با مقادیر مقاومت ویژه متفاوت و اغلب نزدیک به مقاومت ویژه تونل، نوفه تلقی شده و دشمن را در شناسایی هدف گمراه می‌کند. در تحقیقی دیگر، شوکتی و همکاران (۱۴۰۰) کارایی روش مقاومت ویژه الکتریکی جهت شناسایی کارست مدفون در ناهمواری‌های شاهو را ارزیابی نموده‌اند. بر اساس نتایج این تحقیق، روش مقاومت ویژه الکتریکی علاوه بر تعیین موقعیت دقیق غار، بی‌هنگاری‌ها را خارج از محدوده غار (احتمالاً به دلیل وجود حفره‌های دیگر) شناسایی می‌کند.

## ۲- مواد و روش‌ها

هدف از عملیات مقاومت ویژه الکتریکی تعیین توزیع مقاومت ویژه الکتریکی زیرسطحی است. در این روش به صورت مصنوعی جریان مستقیم الکتریکی از طریق دو الکترود جریان (A,B) به داخل زمین فرستاده شده و با استفاده از دو پروف پتانسیل اختلاف پتانسیل ایجاد شده اندازه‌گیری می‌شود. اختلاف پتانسیل‌های اندازه‌گیری شده، اطلاعاتی در مورد ناهمگنی‌های زیرسطحی از

محیط‌ها با استفاده از روش‌های مستقیم به دست آمده بود، به کار گرفتند. در این مطالعه آن‌ها از سه آرایه ونر، نور شلومبرژ و دو قطبی-دو قطبی با فاصله الکترودی‌های مختلف استفاده نمودند. آن‌ها در این مطالعه به این نتیجه رسیدند که روش ژئوالکتریک یک روش ارزشمند در یافتن اهداف زیرسطحی می‌باشد. همچنین دریافتند که فاصله الکترودی باید کمتر از اندازه قطر حفره و نهایتاً به اندازه آن باشد؛ به علاوه با افزایش عمق دفن حفره، دقت تعیین موقعیت و همچنین شدت بی‌هنگاری نیز کاهش می‌یابد [۱۰]. در سال ۲۰۱۳ مارتینزپاگان و همکاران، در منطقه غار ویکتوریا، گالری‌هایی که به‌واسطه معدنکاری ایجاد شده بودند را مطالعه نمودند. به علت خشک بودن گالری‌ها، این معابر به صورت زون‌هایی با مقاومت ویژه بالا برروی مقاطع مشخص بودند [۱۱].

شرکت کیان کاوان در سال ۱۳۹۲، در پروژه آبرسانی الغدیر در دشت آزادگان، که در آن تعداد ۹ مخزن آب، قرار بود تأسیس شوند، با استفاده از روش‌های توموگرافی الکتریکی دو بعدی و لرزه‌نگاری انعکاسی به آشکارسازی حفرات و پدیده‌های مخرب پرداخت و نهایتاً نقاط پر خطر و نقاط امن معرفی گردیدند، که گمانه‌های ژئوتکنیکی نیز تأیید کننده نتایج ژئوفیزیکی بودند [۱۰]. در سال ۲۰۱۲ فاروق و همکاران در محیط‌های کارستی منطقه یانگول کره جنوبی، با استفاده از روش ژئوالکتریک به آشکارسازی حفرات کارستی پرداختند [۱۲]. پانтолو و همکاران در سال ۲۰۰۱، مسیرهای نشست موجود در سد سام-کاما-آمبا واقع در ایالت راجستان کشور هند را با استفاده از روش مقاومت ویژه الکتریکی (ID) مطالعه کردند و نشان دادند که زون‌های نشستی دارای مقاومت ویژه پائین می‌باشند [۱۳].

در سال ۲۰۱۳ متوالی و همکاران به منظور گسترش توسعه شهری در منطقه الحسا، عربستان سعودی، از توموگرافی الکتریکی دو بعدی برای آشکارسازی حفرات کارستی زیرسطحی استفاده نمودند و مناطق پر خطر را معرفی نمودند [۱۴]. ساتروگاسا و همکاران (۲۰۰۴) در تایلند به منظور آشکارسازی فروچاله‌های ایجاد شده در مناطق کارستی از تصویرنگاری الکتریکی استفاده نمودند و مناطق زیرسطحی‌ای که در مدل‌های دو بعدی به صورت مقاومت ویژه بالا بود را به عنوان مناطق فروچاله معرفی نمودند [۱۵].

سایپیوس و همکاران در سال ۲۰۰۸، با استفاده از توموگرافی دو بعدی الکتریکی به شبیه سازی بقایای مدفون در چیان-یونان پرداختند [۱۶]. همچنین گروه تحقیقاتی موسسه ژئوفیزیک دانشگاه تهران در سال ۱۳۸۸ بنا بر درخواست سازمان میراث فرهنگی شهرستان نیشابور، با استفاده از توموگرافی دو بعدی الکتریکی در زمین‌های کشاورزی اطراف نیشابور به تعیین مرز کهن شهر نیشابور پرداختند؛ در این مطالعه دیوارها و همچنین

اختلاف پتانسیل میان الکترودهای M و N با استفاده از رابطه زیر محاسبه می‌گردد:

$$\Delta V = \frac{\rho I}{2\pi} \left[ \frac{1}{AM} - \frac{1}{BM} - \frac{1}{AN} + \frac{1}{BN} \right] \quad (5)$$

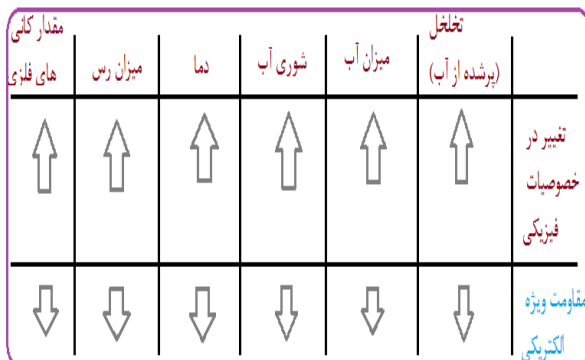
در این رابطه، AM، BM، AN و BN فواصل هندسی میان الکترودهای پتانسیل و جریان می‌باشند. مقاومت ویژه الکتریکی ظاهری به صورت ذیل محاسبه می‌گردد:

$$\rho_a = \left[ \frac{\frac{2\pi}{1}}{\frac{1}{AM} - \frac{1}{BM} - \frac{1}{AN} + \frac{1}{BN}} \right] \frac{\Delta V}{I} \rightarrow \rho_a = K \frac{\Delta V}{I} \quad (6)$$

در این رابطه، K ضریب هندسی است که به چیدمان الکترودی بستگی دارد و در آرایه‌های مختلف، مختلف است. مقاومت ویژه الکتریکی از طیف وسیعی برخوردار است. خاک شور و مرطوب کمترین مقاومت ویژه، ۱ اهمتر و سنگ‌های آذرین و دگرگونی بیشترین مقاومت ویژه در حدود  $10^5$  اهمتر است (جدول ۱). پارامترهای فیزیکی مختلفی بر روی مقاومت ویژه سنگ‌ها و خاک‌ها مؤثر هستند (شکل ۲).

جدول (۱): مقاومت ویژه سنگ‌ها و مواد مختلف [۱۶]

مواد	بازه تغییر مقاومت ویژه الکتریکی (اهم متر)
رس	$1-100$
ماسه	$100-5 \times 10^3$
گرافول	$100-5 \times 10^2$
گرانیت	$5 \times 10^{-3}-10^4$
گنایس	$100-10^3$
شیست	$100-10^4$
آب زیرزمینی	$10-300$
رسوبات منجمد	$1 \times 10^{-3}-10^6$
پرمافراست	$10^6-10^8$
هوای	بینهایت



شکل (۲): تأثیر پارامترهای فیزیکی مختلف بر روی مقاومت ویژه الکتریکی [۲۳]

لحاظ مقاومت ویژه الکتریکی را ارائه می‌دهد [۲۳]. هرچه تباین میان بی‌亨جارتی و محیط میزان بالاتر باشد، شناسایی آن بی‌亨جارتی توسط روش‌های ژئوفیزیکی آسان‌تر است. توزیع خطوط جریان انتشار یافته به ویژگی‌های الکتریکی محیط موردمطالعه بستگی دارد؛ این خطوط در محیط‌های رسانا تمرکز بیشتری دارند. برای مثال یک جسم استوانه‌ای ساده با مقاومت ویژه  $\rho$  به صورت ذیل تعریف می‌گردد:

$$\rho = R \left( \frac{S}{L} \right) \quad (1)$$

در این رابطه، R مقاومت الکتریکی برحسب اهم، L طول استوانه برحسب متر و S سطح مقطع برحسب مترمربع می‌باشد. با استفاده از قانون اهم مقاومت الکتریکی، R استوانه به صورت ذیل تعریف می‌گردد:

$$R = \frac{V}{I} \quad (2)$$

در این رابطه،  $V$  اختلاف پتانسیل برحسب ولت و I جریان الکتریکی عبوری برحسب آمپر است. هدایت الکتریکی (زیمنس بـتر) به صورت عکس مقاومت ویژه الکتریکی می‌باشد. بنابراین:

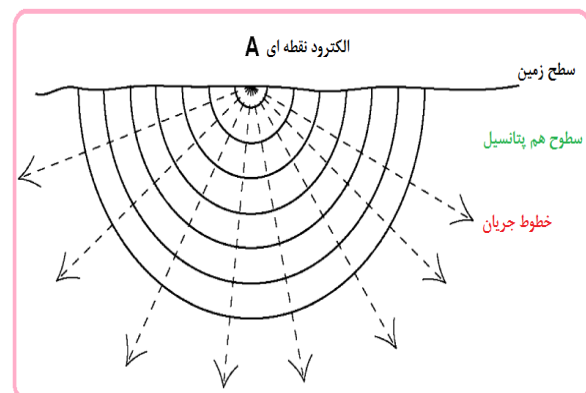
$$\sigma = \frac{1}{\rho} \quad (3)$$

در محیط‌های همگن و همسانگرد هم پتانسیل‌ها به صورت نیم‌کره‌ایی هم‌مرکز هستند که مرکز آن‌ها تک الکترود جریان است (شکل ۱). چگالی جریان الکتریکی برحسب آمپر بر متر مربع است که به صورت زیر تعریف می‌شود:

$$J = \frac{I}{2\pi r^2} \quad (4)$$

در این رابطه،  $2\pi r^2$  مساحت نیم‌کره‌ای به شعاع r است. پتانسیل  $V$  را می‌توان به صورت زیر بیان نمود:

$$V = \frac{\rho I}{2\pi r} \quad (4)$$



شکل (۱): توزیع خطوط جریان و سطوح هم‌پتانسیل حاصل از تک الکترود جریان در یک نیم فضای همگن و همسانگرد [۲۳]

جدول (۲): محسن آرایه‌های مختلف [۲۴]

خصوصیات\آرایه‌های مختلف	پی	پیزومتری	قطبی	قطبی-دوقطبی	قطبی-قطبی
رزولوشن ساختارهای افقی	۶	۵	۴	۳	۲
رزولوشن ساختارهای قائم	۴	۵	۶	۷	۸
عمق کاوش	۴	۵	۶	۷	۸
پوشش افقی داده‌ها	۴	۵	۶	۷	۸
شدت سیگنال	۶	۵	۴	۳	۲

آرایه ونر (آرایه ونر آلفا که متداول است) در میان کل آرایه‌ها از قوی‌ترین نسبت سیگنال به نویه برخوردار است. این آرایه برای آشکارسازی ساختارهای افقی مناسب‌ترین است و کم بودن عمق کاوش و همچنین احتیاج به تعداد نفرات بیشتر را می‌توان به عنوان معايب آن ذکر نمود. آرایه دوقطبی-دوقطبی نیز یکی از متداول‌ترین آرایه‌ها است. عمق کاوش بالا، مناسب جهت شناسایی ساختارهای قائم و همچنین سرعت بالای اجرای عملیات را می‌توان به عنوان محسن این آرایه نام برد و از معايب آن می‌توان به ضعیف بودن سیگنال به نویه اشاره نمود. معايب و مزایای دیگر آرایه‌ها در جدول (۲) آورده شده است [۷ و ۱۲].

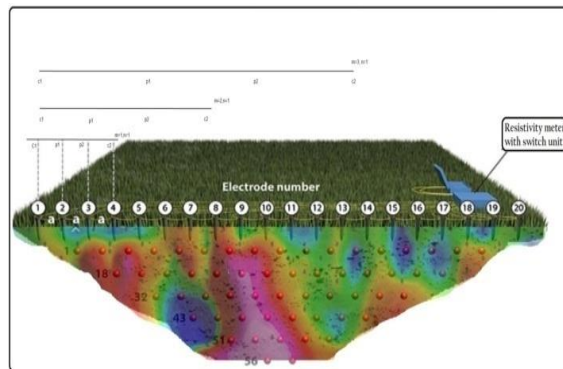
## ۲-۲- مدل‌سازی پیشرو و نرم‌افزار مورد استفاده در شبیه‌سازی عملیات

شبیه‌سازی مصنوعی توسط نرم‌افزار RES2DMOD ساخت شرکت Geotomo Software انجام گرفته است. به علت ضعف این نرم‌افزار در شکل نشان دادن نتایج، نتایج خروجی به نرم‌افزار Geosoft انتقال و در آن نشان داده شده‌اند. نرم‌افزار RES2DMOD ویژه مدل‌سازی پیشرو می‌باشد و شبیه مقطع مقاومت ویژه در زیرزمین را محاسبه می‌کند. آرایه‌های تعریف شده در این نرم‌افزار عبارت‌اند از: ونر (آلفا، بتا، گاما)، قطبی-قطبی، گرادینت، دوقطبی-دوقطبی خطی، قطبی-دوقطبی، دوقطبی استوایی [۲۶].

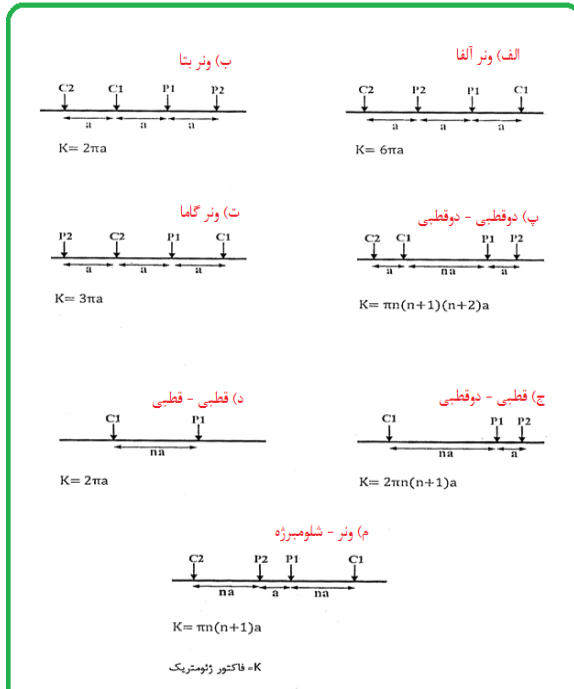
این نرم‌افزار جهت تعیین مقادیر مقاومت ویژه محاسباتی از دو روش تفاضلات متناهی و المان‌های محدود استفاده می‌نماید. روش‌های مذکور زیر سطح زمین را به هزاران سلول مختلف تقسیم می‌کنند

## ۱-۲- آرایه‌های دوبعدی الکتریکی

هر چیدمان از الکترودهای پتانسیل و جریان را یک آرایه گویند. منظور از آرایه‌های دوبعدی آرایه‌هایی است که مدل حاصله‌شان یک توزیع مقاومت ویژه دوبعدی زیرسطح زمین می‌باشد (شکل ۳). شکل (۴) آرایه‌های الکتریکی مختلف همراه با ضرایب هندسی ساختارهای افقی را نشان می‌دهد. هر آرایه دارای یکسری محسن و معایب است که بسته به نوع هدف مورد کاوش، از آرایه‌های مختلف استفاده می‌شود. قبل از انجام عملیات صحراوی با اطلاعاتی را در مورد هندسه و امتداد هدف داشت و با توجه به آن آرایه یا آرایه‌های مطلوب را انتخاب نمود.

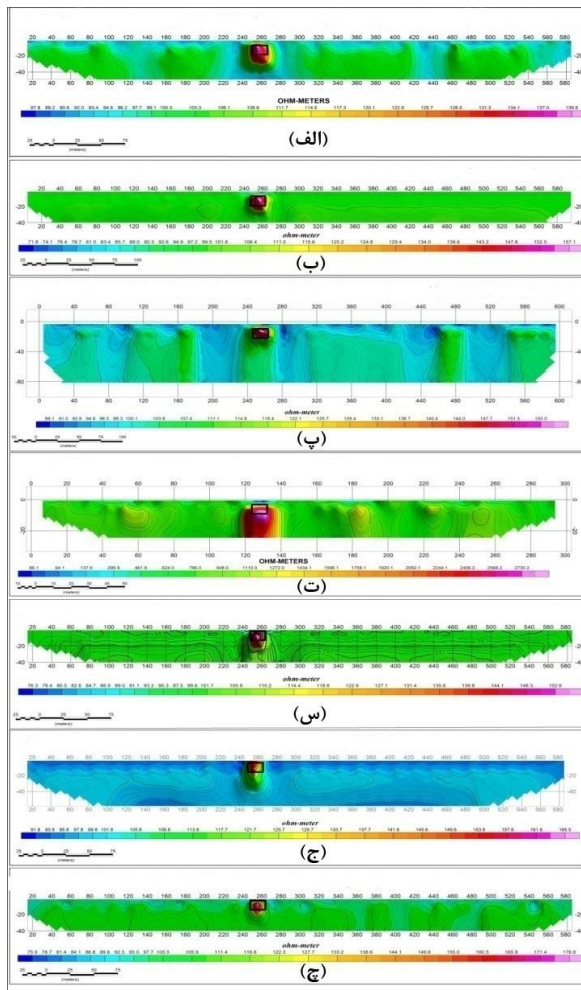


شکل (۳): مدل دوبعدی مقاومت ویژه الکتریکی حاصل از آرایه ونر (با الهام از [۱۲])



شکل (۴): آرایه‌های الکتریکی دوبعدی مختلف همراه با ضرایب هندسی آنها [۲۵]

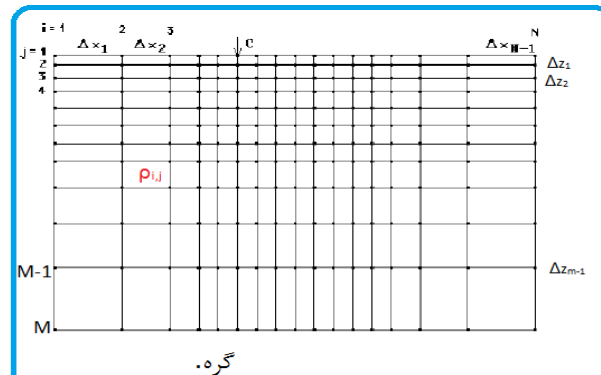
نیز ۲۰۰۰۰۰ اهم متر در نظر گرفته شده است. بنابراین در مقاطع (شکل ۷) تونل به صورت یک پچ پنل<sup>۵</sup> با مقاومت ویژه بالا خود را نشان داده است. از آنجاکه در علم ژئوفیزیک همراه با افزایش عمق رزولوشن مقاطع و همچنین واضح بودن مرز لایه‌ها کاهش می‌یابد، در نتیجه در این مدل‌ها نیز مرز تونل به صورت واضح و مشخص نیست؛ بلکه همراه با یک هاله می‌باشد و با یک تقریب خوب می‌توان گفت که موقعیت و عمق تونل قابل تشخیص است. همان‌طور که در شکل ۷ مشاهده می‌گردد، کل آرایه‌ها به غیراز آرایه و نر آلفا به خوبی وجود تونل را در عمق‌های کم آشکار می‌کند. بدین جهت که آرایه و نر به ساختارهای قائم حساسیت پائینی دارد، در این مورد نتوانسته شکل تونل را بازسازی نماید و زون با مقاومت ویژه بالا تا پایان عمق کاوش کشیده شده است.



شکل (۷) : پاسخ آرایه‌های مختلف در یک محیط همگن و همسانگرد حاوی یک تونل در عمق ۱۰ متری با ابعاد ۳×۲ متر. (الف): دوقطبی - دوقطبی، (ب): قطبی - دوقطبی، (پ): قطبی - قطبی، (ت): ورنر آلفا، (س): ورنر بتا، (ج): ورنر گاما (ج) ورنر شلومبرژ.

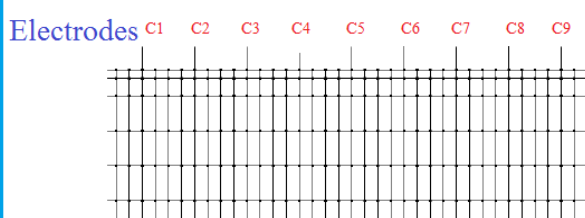
<sup>۵</sup> patch panel

و کاربر به هرکدام از این سلوک‌ها می‌تواند مقادیر مختلف مقاومت ویژه را تخصیص دهد (شکل ۵). روش تفاضلات متناهی برای اولین بار به وسیله Dey و Morison در سال ۱۹۷۹ مطرح شد. در این روش، مقاومت ویژه ظاهری محاسبه می‌گردد؛ اما در روش المان‌های محدود پتانسیل را در محل گره‌ها محاسبه می‌کند [۱۸].



شکل (۵): نمایش مشبندی زیر سطح زمین به وسیله نرم‌افزار RES2dMOD

هر مدل شامل M گره و M-1 بلوک (مش) قائم، و L-1 گره و L-1 بلوک (مش) افقی است. با استفاده از این مشبندی ساختارهای پیچیده زمین‌شناسی مدل می‌شوند. نرم‌افزار به ازای هر فاصله الکترودی ۲ یا ۴ گره را (بسته به نظر کاربر) در نظر می‌گیرد (شکل ۶).



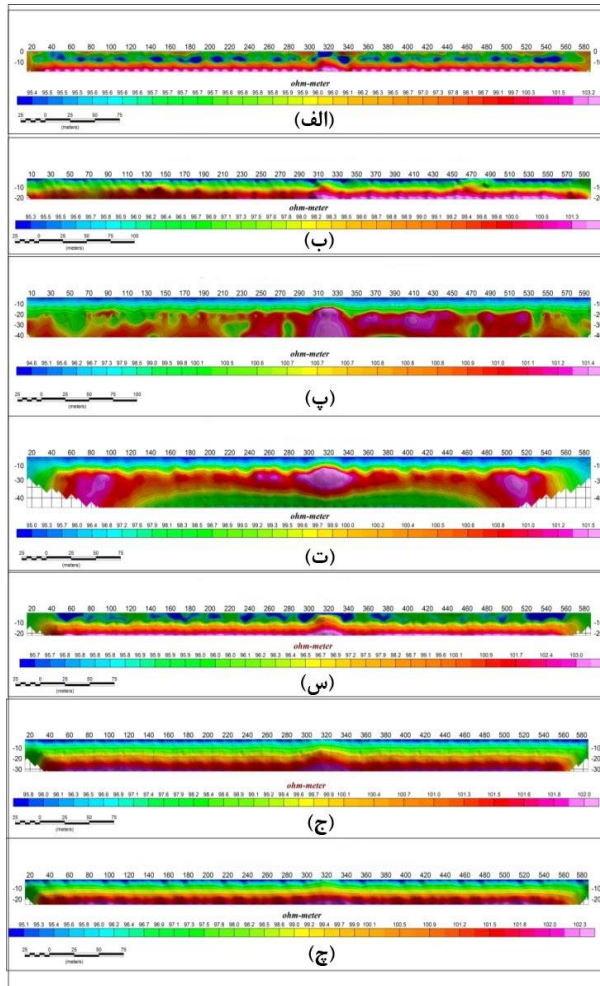
شکل (۶): موقعیت الکترودها بر روی مدل مشبندی شده در نرم‌افزار [۲۷] RES2DMOD

### ۳- نتایج و بحث

۳-۱- آشکارسازی تونل با استفاده از آرایه‌های مختلف در این تحقیق یک تونل در عمق ۱۰ متری با ابعاد ۳×۲ متر در نظر گرفته شده است که به صورت پیشرو، پاسخ آرایه‌های دو بعدی متداول بر روی آن به دست آمده است. در مدل‌های اعمال شده در نرم‌افزار، محیط میزبان دارای مقاومت ۱۰۰ اهم متر و مقاومت تونل

### ۳-۳- اثر ابعاد تونل در اختفای اثر تونل

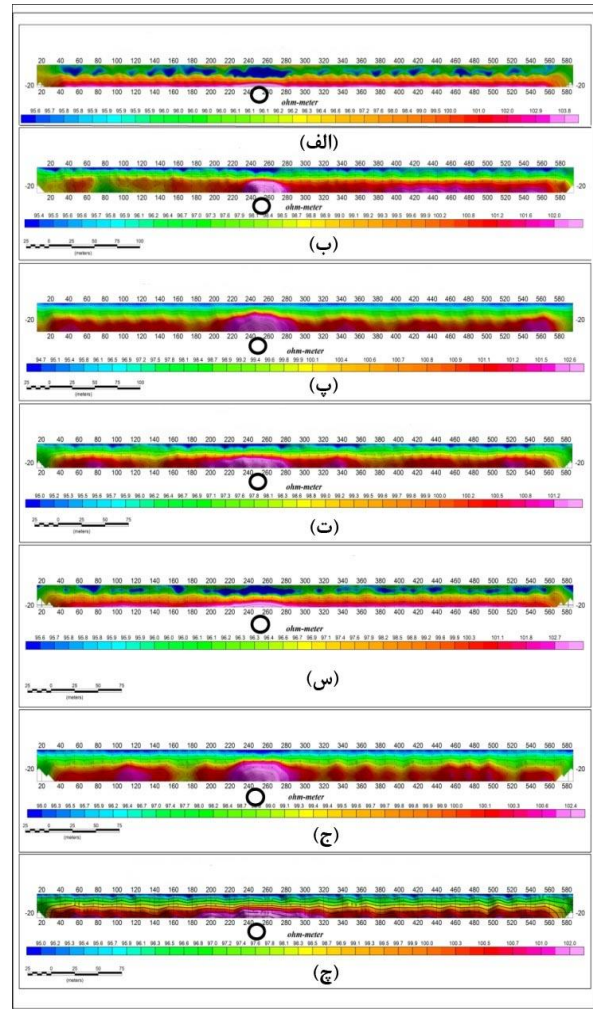
اصلًا اگر عرض یک جسم مدفعون (که در اینجا منظور تونل است)، خیلی کمتر از حداقل فاصله الکترودی باشد، اصل اختفای رخ می‌دهد. بدین معنی که این کانال مدفعون در مقاطع ژئوفیزیکی آشکار نمی‌شود. در این مرحله یک تونل با عرض ۱ متر و ارتفاع ۲ متر در مدل‌ها اعمال شده است. همان‌طور که در شکل ۹ دیده می‌شود، اثری از تونل بر روی کلیه مقاطع ژئوالکتریکی رؤیت نمی‌گردد. تغییر رنگ در مقاطع این بخش فقط مربوط به اختلاف ۲ تا ۵ اهم متري مقاومت ویژه است. در حیطه عمل تفسیر مقاطع ژئوالکتریکی به صورت کمی انجام می‌پذیرد. بنابراین در این قسمت نیز تباین قابل قبولی در مقاطع حاصل از کلیه آرایه‌ها مشاهده نمی‌گردد. پس با این ترفند نیز می‌توان کانال‌ها و زیرگذرها ساخته شده را از میدان دید ژئوالکتریک خارج نمود.



شکل (۹): پاسخ آرایه‌های مختلف برای یک تونل در عمق ۱۰ متری با ابعاد ۲×۲ متر. (الف): دوقطبی-دوقطبی، (ب): قطبی-دوقطبی، (پ): قطبی-قطبی، (ت): ورنر آلفا، (س): ورنر بتا، (ج): ورنر گاما (چ): ورنر شلومبرژه.

### ۲-۳- اثر عمق تونل در اختفای اثر آن

قبل از پرداختن به مدل‌ها لازم است که به طور خلاصه به اثر اختفای پرداخته شود. لایه یا ساختاری که ضخامت آن نسبت به عمق دفن خیلی کوچک‌تر و همچنین کوچک‌تر از کوچک‌ترین فاصله الکترودی باشد، اثر آن بر روی مقاطع ژئوالکتریکی آشکار نمی‌گردد. در مدل‌ها کوچک‌ترین فاصله الکترودی ۱۰ متر در نظر گرفته شده، همچنین تونل با ابعاد ۳ متر پهنا و ۲ متر ارتفاع و عمق دفن آن ۴۰ متر است؛ پس بر طبق این اصل اثر تونل ببروی مقاطع ژئوالکتریکی محو شده است (شکل ۸). با توجه به شکل ۸، ملاحظه می‌شود که کل اختلاف مقاومت ویژه در حدود ۳ تا ۴ اهم متري است. پس نمی‌توان رنگ‌ها را به اثر تونل ربط داد، بلکه این تفاوت رنگ منشأ گرفته از شبکه‌گذاری نرم‌افزار می‌باشد و جنبه عینی ندارد.



شکل (۸): پاسخ آرایه‌های مختلف برای یک تونل در عمق ۴۰ متری با ابعاد ۳×۲ متر. (الف): دوقطبی-دوقطبی، (ب): قطبی-دوقطبی، (پ): قطبی-قطبی، (ت): ورنر آلفا، (س): ورنر بتا، (ج): ورنر گاما (چ): ورنر شلومبرژه.

آشکارسازی تونل‌ها، یک تونل در عمق ۱۰ متری شبیه‌سازی شد و سپس پاسخ آرایه‌های مختلف الکتریکی بر روی تونل بررسی گردید. نتایج نشان داد که همه آرایه‌های ژئوالکتریکی می‌توانند اثر تونل را برروی مقاطع، مدلسازی شده آشکار نمایند. در این میان آرایه‌های دوقطبی، قطبی-دوقطبی و ونر-شلومبرژه دارای مناسب‌ترین پاسخ می‌باشند و تا حد زیادی می‌توانند تونل را در موقعیت واقعی خود شناسایی نمایند؛ اما آرایه ونر، تونل را به صورت یک بی‌亨جارت با مقاومت ویژه بالا که تا انتهای عمق آشکارسازی کشیده شده نشان می‌دهد، که نسبت به بقیه دارای ضعیفترین پاسخ می‌باشد.

همچنین در این تحقیق، به منظور ارائه راهکارهای پدافند غیرعامل، جهت پنهان ماندن اثر تونل از میدان دید ژئوالکتریک، سه شیوه مدلسازی مورد توجه قرار گرفت. همان‌طور که بحث شد هر سه روش توانستند اثر اختفا را ایجاد نمایند و اثر تونل را بر روی مقاطع محو کنند. نتایج مهم به دست آمده که از دیدگاه اختفاء تونل حائز اهمیت هستند، عبارت‌اند از:

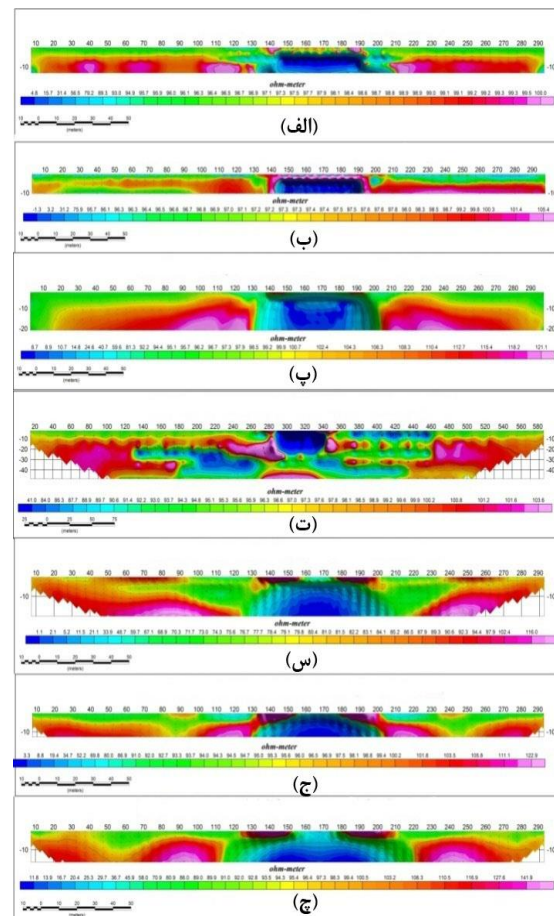
- با افزایش عمق تونل از ۱۰ به ۴۰ متر، اختلاف مقاومت ویژه در حدود ۳ تا ۴ اهم متر با توجه به حداقل فاصله الکتروودی ۱۰ متر ایجاد می‌شود و اثر تونل بر روی مقاطع ژئوالکتریکی آشکار نمی‌گردد. افزایش عمق به عنوان یک راهکار پدافند غیرعامل از آن جهت قبل اجراست که اگر دشمن بخواهد فاصله الکتروودی را افزایش دهد تا عمق نفوذش را بالطبع زیاد کند، نه تنها کلاً اثرات ساختارهای نزدیک سطحی را از دست می‌دهد، بلکه نسبت ابعاد تونل و فاصله الکتروودی نیز زیاد می‌شود که این خود نیز منجر به ایجاد اثر اختفا می‌گردد.

- اگر عرض تونل، خیلی کمتر از حداقل فاصله الکتروودی باشد، به دلیل ایجاد اختلاف ۲ تا ۵ اهم متری مقاومت ویژه، اثری از تونل بر روی مقاطع ژئوالکتریکی ایجاد نمی‌شود و لذا امکان آشکارسازی تونل به طور قابل ملاحظه‌ای کاهش می‌یابد. بنابراین، در حالت کاهش ابعاد تونل، اگر دشمن بخواهد تونل‌های کم‌عرض را آشکارسازی نماید، باید فاصله الکتروودی را کاهش دهد، که این امر منجر به عمق نفوذ جریان و بالطبع کاهش عمق کاوش می‌گردد. پس این ترفندها را می‌توان به عنوان یک راهکار مناسب پدافند غیرعامل در نظر گرفت.

- ایجاد یک لایه (پچ‌پنل) خیلی رسانا در زیر و اطراف تونل باعث می‌شود که در هیچ‌بک از مقاطع، اثر تونل بر روی مقاطع ژئوالکتریکی ایجاد نشود و لذا امکان آشکارسازی تونل به طور قابل ملاحظه‌ای کاهش می‌یابد. درواقع، این کار منجر به وارونه

#### ۴-۳- تأثیر رولایه رسانا در اختفای اثر تونل

در این بخش، مدل به صورت یک محیط میزبان همراه با یک لایه خیلی رسانا در عمق ۴۰ متری که در زیر آن یک تونل می‌باشد، در نظر گرفته شده است. اثر لایه رسانا، داده‌ها را تا شعاع ۵۰ متری تونل اطراف مخدوش نموده است. همان‌طور که در شکل (۱۰) مشاهده می‌شود در هیچ‌یک از مقاطع، اثر تونل دیده نمی‌شود. بنابراین می‌توان بیان نمود که، این ترفندها نیز یکی از کاراترین روش‌ها در اختفای تونل‌ها از دید روش مقاومت ویژه است.



شکل (۱۰): پاسخ آرایه‌های مختلف برای یک تونل با رولایه رسانا در عمق ۴۰ متری و ابعاد ۳×۲ متر. (الف): دوقطبی-دوقطبی، (ب): قطبی-دوقطبی، (پ): قطبی-قطبی، (ت): ونر آلفا، (س): ونر بتا، (ج): ونر گاما (ج): ونر شلومبرژه.

#### ۴- نتیجه‌گیری

روش مقاومت ویژه الکتریکی به سبب حساس بودن به تباين مقاومت ویژه، مناسب‌ترین روش ژئوفیزیکی برای شناسایی حفریات زیرزمینی است [۲۸]. در این تحقیق، توانایی روش مقاومت ویژه الکتریکی در آشکارسازی تونل‌ها بررسی گردید. در مطالعه حاضر در ابتدا به منظور تائید قوی بودن این روش در

- [11] M. Pagan, "The Electrical Resistivity Tomography (ERT) method in the detection of shallow mining cavities. A case study on Victoria Cave, Cartagena (SE, Spain)", Eng. Geol., vol. 156, pp. 1-10, 2013. DOI: 10.1016/j.enggeo.2013.01.013
- [12] M. Farooq and M. Fozan, "Subsurface cavity detection in a karst environment using geoelectrical resistivity: a case study from Yongweol-ri South Korea", Earth science research journal, vol. 16(1), pp. 1-12, 2012.
- [13] شرکت کیان کاوان، مطالعات ژئوالکتریک و لرزه‌نگاری انکساری جهت کشف حفره دشت آزادگان. ۱۳۹۳
- [14] T. V. Panthulu, "Detection of seepage paths in earth dams using SP and electrical resistivity methods", Eng. Geol., vol. 59, pp. 281-295, 2001.
- [15] M. Metwaly and A. Salman, "Application of 2D geoelectrical resistivity tomography for subsurface cavity detection in eastern part of Saudi Arabia", Geosci. Front., vol. 4, pp. 469-476, 2001.
- [16] P. Satarugsa, "Applied 2D resistivity imaging for detection of subsurface cavities in northeastern Thailand: A case study at Ban Non Sa Bang- Ampho Ban Muang", In Proc. of the International conference on applied Geophysics, pp. 44-49, 2004.
- [17] P. Soupios and M. Szalai, "Reconstructing former urban environments by combining geophysical electrical methods and geotechnical investigations- an example from Chania- Greece", J. Geophys. Eng., vol. 5(2), pp. 20-27, 2008.
- [18] رنجی روپیشی، هاشم، مطالعات باستان شناسی نیشابور با روش‌های قطبش القایی و مقاومت‌ویژه، پایان نامه کارشناسی ارشد، موسسه ژئوفیزیک دانشگاه تهران، ۱۳۹۰.
- [19] S. Ibneme and I. Fidan, "Geoelectrical assessment of a proposed dam site around Ehuhe area of Oji river- south eastern of Nigeria", Journal of natural science research, vol. 3(13), pp. 12-18, 2013.
- [20] موسوی، سید حسین، خزانی، صفا، آشکارسازی تونل‌های زیرزمینی با استفاده از روش‌های توموگرافی مقاومت ویژه الکتریکی و لرزه‌نگاری شکستی، فیزیک زمین و فضا، دوره ۴۲، شماره ۳، ۱۳۹۵، ۵۸۷-۶۰۶.
- [21] [۲۱] خاکی نجف آبادی، ایمان، خزانی، صفا، آشکارسازی تونل‌ها و سازه‌های امن پدافندی با استفاده از روش‌های مقاومت ویژه الکتریکی و رادار نفوذی زمین (GPR) با رویکرد پدافند غیر عامل، مجله پدافند غیر عامل، دوره ۸، شماره ۴، ص ۱۷-۲۸، ۱۳۹۶.
- [22] شوکتی روناک، ملکی امجد، شیرزادی تبار فرزاد، ارزیابی روش توموگرافی مقاومت ویژه الکتریکی و الکترومغناطیس با بسامد بسیار پایین در شناسایی کارست مدفون در ناهمواری‌های شاهو (غار قوری‌قلعه)، فصلنامه جغرافیای طبیعی، دوره ۱۴، شماره ۵۳، ص ۹۷-۱۱۷، ۱۳۹۰.
- [23] S. Bazin, "Mapping of quick clay by electrical resistivity tomography (ERT)", J. Appl. Geophys., vol. 98, pp. 280-287, 2013.
- [24] P. Falco and M. H. Loke, "Fracture characterization using geoelectrical null- array", J. Appl. Geophys., vol. 93, pp. 33-42, 2013. DOI: 10.1016/j.jappgeo.2013.03.005
- [25] M. Telford, L. P. Geldart, R. E. Sheriff, and D. A. Keys, "Applied Geophysics", Cambridge University Press, 1986.
- [26] J. Milsom, "Field Geophysics", Wiley, University College London, 2003.
- [27] M. H. Loke, "Help of Res2dMod", Geotomo software, 2002.
- [28] A. R. Zohdy, "Techniques of Water Resources" United States Geological Survey, pp. 25-27, 1974.

جلوه دادن مقاومت ویژه تونل می‌گردد و به‌واقع اثر تونل را می‌توان به‌صورت گسلی که در آن آب‌های زیرزمینی تجمع یافته‌اند، در نظر گرفت.

در پایان، لازم به ذکر است که تحلیل‌های این تحقیق بر اساس داده‌های تمیز (بدون نویه) انجام گرفته‌اند. لذا، با توجه به اینکه داده‌های واقعی ژئوالکتریکی همراه نویه هستند، پیشنهاد می‌شود در تحقیقات بعدی اثر نویه بر روی عملکرد آرایه‌ها مورد بررسی و تحلیل قرار گیرد. همچنین در این تحقیق جهت تحلیل اثر عمق، دو عمق ۱۰ و ۴۰ متر که از لحظه کاربردی (دفاعی) به ترتیب عمق‌های متداول و بالا برای حفر تونل محسوب می‌شوند، مورد بررسی قرار گرفت. پیشنهاد می‌شود برای تحقیقات بعدی اثر عمق‌های بیشتری جهت بررسی عملکرد آرایه‌های مختلف مورد تحلیل قرار گیرد.

## ۵- مراجع

- [1] R. Adwari, "Tunneling technique"; <http://www.mashreghnews.ir/fa/print/202808>, 2013.
- [2] P. W. McDowell, "Geophysics in engineering investigations", 2002.
- [3] C. H. Lin, C. P. Lin, Y. C. Hung, C. C. Chung, P. L. Wu, H. C. Liu, "Application of geophysical methods in a dam project: Life cycle perspective and Taiwan experience", Journal of Applied Geophysics, 158, 82-92, 2018. DOI: 10.1016/j.jappgeo.2018.07.012
- [4] J. M. Reynolds, "An Introduction to Applied and environmental Geophysics", Champan & Hall, 2011.
- [5] T. Lowrey, P. Schive, "An evaluation of bristow's method for the detection of subsurface cavities", Geophys. J., vol. 55(5), pp. 5-14, 1990.
- [6] F. Binachi, G. Fasani, and H. Avat, "Underground cavity investigation within city of Rome (Italy): A multi-disciplinary approach combining geological and geophysical data", Eng. Geol., vol. 15, pp. 109-121, 2013. DOI: 10.1016/j.enggeo.2012.10.006
- [7] شاهی فردوس محمد، نوروزی غلامرضا، مقسومی عباس، استفاده از روش ژئوالکتریک به منظور احیای قنات‌ها: مطالعه موردی منطقه گستج، نشریه منابع آب و توسعه، شماره ۱۳۹۳، ۴، ۹۲-۱۰۰.
- [8] اسحاقی، اسماعیل، مقایسه و تلفیق نتایج پردازش، مدل‌سازی و تفسیر داده‌های توموگرافی الکتریکی و GPR برای شناسایی اهداف و ساختارهای زیرسطحی که‌رفا، شماره ۱۳۹۳، ۹۲-۱۰۳.
- [9] R. Putsika and G. Kiota, "Determination of cavities using geoelectrical resistivity tomography", Cont. Geophys. Geodes., vol. 5, pp. 10-20, 2012.
- [10] M. Lopez and H. Jacob, "Electrical Tomography applied to the detection of subsurface cavities", Journal of Cave and Karst studies, vol. 3, pp. 12-25, 2014. DOI: 10.4311/2011ES0242